

УДК 519.876:620.22–419.8

## ИССЛЕДОВАНИЕ РАЦИОНАЛЬНЫХ СТРУКТУР КРИВОЛИНЕЙНОГО АРМИРОВАНИЯ В ПОЛЯРНОЙ СИСТЕМЕ КООРДИНАТ

Ю. В. Немировский<sup>1</sup>, Н. А. Фёдорова<sup>2</sup>

<sup>1</sup> Институт теоретической и прикладной механики им. С. А. Христиановича СО РАН, Россия, 630090, Новосибирск, ул. Институтская, 4/1.

<sup>2</sup> Институт космических и информационных технологий Сибирского федерального университета, Россия, 660074, Красноярск, ул. Киренского 26.

E-mails: nemirov@itam.nsc.ru, feodorova.natalia@mail.ru

*На основе структурной модели решена задача рационального армирования криволинейными волокнами осесимметричной кольцевой пластины в полярной системе координат. Изучено влияние структурных параметров на предельное нагружение конструкции.*

**Ключевые слова:** структурная модель, криволинейное армирование.

**1. Постановка задачи.** Напряжённо-деформированное состояние армированной пластины в полярной системе координат  $(\rho, \theta)$  относительно компонент тензоров деформаций  $\varepsilon_\rho, \varepsilon_\theta, \varepsilon_{\rho\theta}$  и напряжений  $\sigma_\rho, \sigma_\theta, \sigma_{\rho\theta}$  в осесимметричном случае (искомые функции не зависят от полярного угла  $\theta$ ) описывается приводимыми ниже соотношениями.

Уравнения равновесия имеют вид

$$\frac{\partial \sigma_\rho}{\partial \rho} + \frac{\sigma_\rho - \sigma_\theta}{\rho} = 0, \quad \frac{\partial \sigma_{\rho\theta}}{\partial \rho} + \frac{2}{\rho} \sigma_{\rho\theta} = 0. \quad (1)$$

Пусть армирование выполнено  $m$  семействами волокон ( $m = 1, 2, 3$ ),  $\varphi_m$  — углы армирования,  $\varepsilon_m$  — деформация в волокне,  $\sigma_m$  — напряжение в волокне,  $\omega_m$  — интенсивность армирования  $m$ -тым семейством волокон. Деформации в волокне в полярной системе определим по структурной модели [1]

$$\varepsilon_\rho \cos^2 \varphi_m + \varepsilon_\theta \sin^2 \varphi_m + \varepsilon_{\rho\theta} \cos \varphi_m \sin \varphi_m = \varepsilon_m.$$

Соотношения Коши, связывающие компоненты тензора деформаций и компоненты вектора смещений  $u_\rho, u_\theta$ , в условиях осесимметричной деформации имеют вид

$$\varepsilon_\rho = \frac{\partial u_\rho}{\partial \rho}, \quad \varepsilon_\theta = \frac{u_\rho}{\rho}, \quad \varepsilon_{\rho\theta} = \left( \frac{\partial u_\theta}{\partial \rho} - \frac{u_\theta}{\rho} \right). \quad (2)$$

Пусть  $m^*$  — некоторое фиксированное число семейств армирующих волокон. Закон Гука для неоднородного армированного материала с числом се-

---

Юрий Владимирович Немировский (д.ф.-м.н., проф.), главный научный сотрудник, лаб. физики быстропотекающих процессов.

Наталья Александровна Фёдорова (к.ф.-м.н., доц.), доцент, каф. прикладной математики и компьютерной безопасности.

мейств армирующих волокон  $m^*$  запишем в виде

$$\begin{aligned}\sigma_\rho &= \Omega \frac{E}{1-\nu^2} (\varepsilon_\rho + \nu\varepsilon_\theta) + \sum_{m=1}^{m^*} \sigma_m \omega_m \cos^2 \varphi_m, \\ \sigma_\theta &= \Omega \frac{E}{1-\nu^2} (\varepsilon_\theta + \nu\varepsilon_\rho) + \sum_{m=1}^{m^*} \sigma_m \omega_m \sin^2 \varphi_m, \\ \sigma_{\rho\theta} &= \Omega \frac{E}{1+\nu} \varepsilon_{\rho\theta} + \sum_{m=1}^{m^*} \sigma_m \omega_m \cos \varphi_m \sin \varphi_m, \quad \Omega = 1 - \sum_{m=1}^{m^*} \omega_m,\end{aligned}\tag{3}$$

где  $E, \nu$  — соответственно модуль Юнга и коэффициент Пуассона связующего материала.

При наложении дополнительных условий постоянства сечений волокон [2] интенсивность армирования  $\omega_m$   $m$ -тым семейством волокон удовлетворяет следующим условиям в полярной системе координат [3]:

$$\frac{\partial}{\partial \rho} (\rho \omega_m \cos \varphi_m) + \frac{\partial}{\partial \theta} (\omega_m \sin \varphi_m) = 0.\tag{4}$$

В рассматриваемой задаче интенсивность  $\omega_m$  найдём из (4) после задания уравнений конкретных траекторий армирования  $\rho = \rho(\theta)$ , введения углов армирования  $\varphi_m$  и начальных условий выхода арматуры.

**2. Разрешающая система уравнений.** Сформулируем задачу об осесимметричной деформации армированной пластины в перемещениях  $u_\rho, u_\theta$ . Для этого соотношения (3) подставим в уравнения равновесия (1), предварительно напряжения  $\sigma_m$  в волокнах найдём по формулам

$$\sigma_m = E_m (\varepsilon_\rho \cos^2 \varphi_m + \varepsilon_\theta \sin^2 \varphi_m + \varepsilon_{\rho\theta} \cos \varphi_m \sin \varphi_m),$$

где  $E_m$  — модуль Юнга материала  $m$ -того семейства волокон.

Напряжения  $\sigma_\rho, \sigma_\theta, \sigma_{\rho\theta}$  с учётом структурных характеристик примут вид

$$\begin{aligned}\sigma_\rho &= m_1 (\varepsilon_\rho + \nu\varepsilon_\theta) + \sum_{m=1}^{m^*} E_m \omega_m (\varepsilon_\rho \cos^2 \varphi_m + \varepsilon_\theta \sin^2 \varphi_m + \\ &\quad + \varepsilon_{\rho\theta} \sin \varphi_m \cos \varphi_m) \cos^2 \varphi_m, \\ \sigma_\theta &= m_1 (\varepsilon_\rho + \nu\varepsilon_\theta) + \sum_{m=1}^{m^*} E_m \omega_m (\varepsilon_\rho \cos^2 \varphi_m + \varepsilon_\theta \sin^2 \varphi_m + \\ &\quad + \varepsilon_{\rho\theta} \sin \varphi_m \cos \varphi_m) \sin^2 \varphi_m, \\ \sigma_{\rho\theta} &= m_2 \varepsilon_{\rho\theta} + \sum_{m=1}^{m^*} E_m \omega_m (\varepsilon_\rho \cos^2 \varphi_m + \varepsilon_\theta \sin^2 \varphi_m + \\ &\quad + \varepsilon_{\rho\theta} \sin \varphi_m \cos \varphi_m) \sin \varphi_m \cos \varphi_m.\end{aligned}$$

Соотношения для напряжений  $\sigma_\rho$ ,  $\sigma_\theta$ ,  $\sigma_{\rho\theta}$  запишем в виде

$$\begin{aligned} \sigma_\rho &= a_{11}\varepsilon_\rho + a_{12}\varepsilon_\theta + a_{13}\varepsilon_{\rho\theta}, & \sigma_\theta &= a_{12}\varepsilon_\rho + a_{22}\varepsilon_\theta + a_{23}\varepsilon_{\rho\theta}, \\ \sigma_{\rho\theta} &= a_{13}\varepsilon_\rho + a_{23}\varepsilon_\theta + a_{33}\varepsilon_{\rho\theta} & \left( m_1 = \Omega \frac{E}{1-\nu^2}, m_2 = \Omega \frac{E}{1+\nu} \right), \end{aligned} \quad (5)$$

где введены коэффициенты

$$\begin{aligned} a_{11} &= m_1 + \sum_{m=1}^{m^*} E_m \omega_m \cos^4 \varphi_m, & a_{12} &= \nu m_1 + \sum_{m=1}^{m^*} E_m \omega_m \cos^2 \varphi_m \sin^2 \varphi_m, \\ a_{13} &= \sum_{m=1}^{m^*} E_m \omega_m \cos^3 \varphi_m \sin \varphi_m, & a_{22} &= m_1 + \sum_{m=1}^{m^*} E_m \omega_m \sin^4 \varphi_m, \\ a_{23} &= \sum_{m=1}^{m^*} E_m \omega_m \cos \varphi_m \sin^3 \varphi_m, & a_{33} &= m_2 + \sum_{m=1}^{m^*} E_m \omega_m \cos^2 \varphi_m \sin^2 \varphi_m. \end{aligned}$$

После подстановки (5) в уравнения равновесия (1) с учётом (2) получим относительно компонент перемещений следующую систему дифференциальных уравнений:

$$\begin{aligned} a_{11} \frac{d^2 u_\rho}{d\rho^2} + a_{13} \frac{d^2 u_\theta}{d\rho^2} + \left( \frac{da_{11}}{d\rho} + \frac{a_{11}}{\rho} \right) \frac{du_\rho}{d\rho} + \left( -\frac{a_{23}}{\rho} + \frac{da_{13}}{d\rho} \right) \frac{du_\theta}{d\rho} + \\ + \left( \frac{1}{\rho} \frac{da_{12}}{d\rho} - \frac{a_{22}}{\rho^2} \right) u_\rho + \left( -\frac{1}{\rho} \frac{da_{13}}{d\rho} + \frac{a_{23}}{\rho^2} \right) u_\theta = 0, \\ a_{13} \frac{d^2 u_\rho}{d\rho^2} + \frac{a_{33}}{2} \frac{d^2 u_\theta}{d\rho^2} + \left( \frac{da_{13}}{d\rho} + \frac{a_{23}}{\rho} + \frac{2a_{13}}{\rho} \right) \frac{du_\rho}{d\rho} + \\ + \left( -\frac{a_{33}}{\rho} + \frac{da_{33}}{d\rho} + \frac{2a_{33}}{\rho} \right) \frac{du_\theta}{d\rho} + \left( \frac{1}{\rho} \frac{da_{23}}{d\rho} + \frac{a_{23}}{\rho^2} \right) u_\rho + \\ + \left( -\frac{1}{\rho} \frac{da_{33}}{d\rho} - \frac{a_{33}}{\rho^2} \right) u_\theta = 0. \end{aligned} \quad (6)$$

К системе (6) присоединим четыре граничных условия на внешнем и внутреннем контурах кольцевой пластины. Пусть на внутреннем контуре при  $\rho = \rho_1$  заданы перемещения:

$$u_\rho = C_1^*, \quad u_\theta = C_2^* \quad (7)$$

(при  $C_1^* = 0, C_2^* = 0$  имеем жёстко закрепленный вал, при  $C_1^* = 0, C_2^* \neq 0$  — возможно скручивание вала).

На внешнем контуре  $\rho = \rho_2$  заданы радиальное и касательное усилия  $p_n, p_\tau$ . С учётом соотношений (5) и (2) условия на внешнем контуре примут вид

$$\begin{aligned} a_{11} \frac{du_\rho}{d\rho} + a_{12} \frac{u_\rho}{\rho} + a_{13} \left( \frac{du_\theta}{d\rho} - \frac{u_\theta}{\rho} \right) \Big|_{\rho=\rho_2} &= p_n, \\ a_{13} \frac{du_\rho}{d\rho} + a_{23} \frac{u_\rho}{\rho} + a_{33} \left( \frac{du_\theta}{d\rho} - \frac{u_\theta}{\rho} \right) \Big|_{\rho=\rho_2} &= p_\tau. \end{aligned} \quad (8)$$

Возможны следующие комбинации в граничных условиях: на внутреннем контуре задано одно из усилий и одно из перемещений, на внешнем —

оставшееся усилие и перемещение. Система (6) и граничные условия (7), (8) представляют собой обобщённую двухточечную краевую задачу для системы обыкновенных дифференциальных уравнений. В граничные условия (7), (8) для общего случая армирования входят как обе неизвестные функции  $u_\rho$ ,  $u_\theta$ , так и их производные. Коэффициенты системы содержат полный набор структурных характеристик материала: число  $m^*$  семейств армирующих волокон, механические характеристики материалов связующего и волокон, интенсивность  $\omega_m$  и тригонометрические функции углов армирования  $\varphi_m$ .

**3. Армирование по спиральям.** Выполним в рамках поставленной задачи армирование кольцевой пластины по криволинейным траекториям, которые являются семействами логарифмических и алгебраических спиралей [4]. Для построения разрешающей системы необходимо определить коэффициенты  $a_{ij}$  системы (6). В каждом конкретном случае заданных семейств спиралей вычислим интенсивность  $\omega_m$  и углы армирования  $\varphi_m$ .

**1. Армирование по семействам логарифмических спиралей.** Пусть дано семейство логарифмических спиралей вида  $\rho = Cb^\theta$ ,  $C$  — параметр семейства,  $b$  — параметр спирали, при  $b > 1$  спираль разворачивается вокруг полюса против хода часовой стрелки (рис. 1), если  $b < 1$ , то спираль закручивается по часовой стрелке (рис. 2). Вычислим угол армирования

$$\operatorname{tg} \varphi = \frac{\rho}{\rho'} = \frac{1}{\ln b},$$

то есть для логарифмической спирали угол армирования — некоторая константа. Определим интенсивность армирования  $\omega_1(\rho)$  из уравнения (4) при заданных углах армирования, в нем производную по  $\theta$  вычисляем по формуле

$$\frac{\partial}{\partial \theta} = \frac{\partial \rho}{\partial \theta} \frac{\partial}{\partial \rho}$$

с учётом уравнения траектории  $\rho = Cb^\theta$ . В результате имеем

$$\frac{\partial}{\partial \rho}(\rho \omega_1) + \rho \frac{\partial}{\partial \rho}(\omega_1) = 0. \tag{9}$$

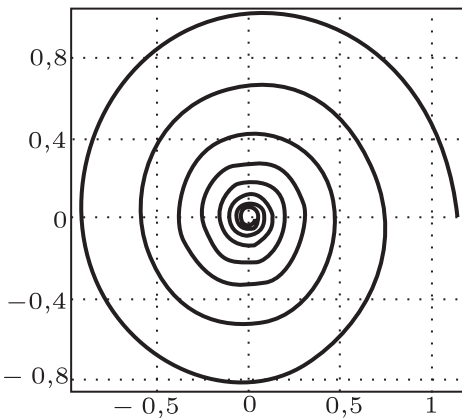


Рис. 1

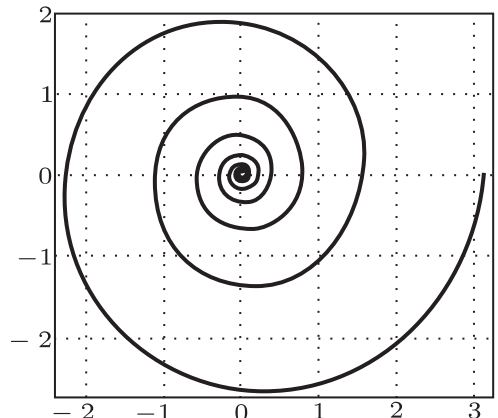


Рис. 2

В (9) частную производную заменяем обычной производной по  $\rho$ , так как исключили зависимость от окружной координаты. Интегрируя (9) с учётом заданной интенсивности армирования  $\omega_0$  на внутреннем контуре  $\rho = \rho_1$ , получим следующее выражение для интенсивности армирования по логарифмической спирали

$$\omega_1 = \omega_0 \sqrt{\rho_1 / \rho}.$$

2. Армирование по семействам спиралей Архимеда. Зададим спираль Архимеда  $\rho = a\theta$ ,  $a$  — коэффициент пропорциональности [4]. Иллюстрация кривой приведена на рис. 3. Угол армирования находим из соотношения  $\operatorname{tg} \varphi = \theta = \rho/a$ , вычисляем  $\sin \varphi$ ,  $\cos \varphi$  через  $\operatorname{tg} \varphi$ , после подстановки в (4) получаем следующее уравнение для интенсивности армирования  $\omega_1(\rho)$ :

$$\frac{\partial}{\partial \rho} \left( \rho \omega_1 \frac{1}{\sqrt{1 + \operatorname{tg}^2 \varphi}} \right) = 0,$$

оператор дифференцирования по окружной координате вдоль траектории армирования равен

$$\frac{\partial}{\partial \theta} = a \frac{\partial}{\partial \rho}.$$

Тогда интенсивность армирования в произвольной точке кольцевой пластины найдем по формуле

$$\omega_1 = C \sqrt{1 + \operatorname{tg}^2 \varphi} / \rho.$$

Пусть на внутреннем контуре  $\rho = \rho_1$  задан угол вхождения арматуры  $\varphi_0$  и задана интенсивность армирования  $\omega_0$ , что соответствует условиям технологического процесса. После вычисления константы интегрирования из условий на внутреннем контуре пластины интенсивность армирования имеет вид

$$\omega_1 = \frac{\omega_0 \sqrt{\rho_1^2 + \rho^2 \operatorname{tg}^2 \varphi_0}}{\rho \sqrt{1 + \operatorname{tg}^2 \varphi}}.$$

Для тангенса угла армирования получим выражение  $\operatorname{tg} \varphi = (\rho/\rho_1) \operatorname{tg} \varphi_0$ .

3. Спираль Ферма. Спираль Ферма задается уравнением  $\rho^2 = a^2 \theta$ ,  $a$  — коэффициент пропорциональности. Для тангенса угла армирования получим выражение  $\operatorname{tg} \varphi = 2\rho^2/a^2$ . С учётом условий на внутреннем контуре определяем параметр  $a^2$ :  $a^2 = 2\rho_1/\operatorname{tg} \varphi_0$ , ограничение на условия на внутреннем контуре  $\operatorname{tg} \varphi_0 > 0$ .

Оператор дифференцирования по окружной координате вдоль траектории армирования определим по формуле

$$\frac{\partial}{\partial \theta} = \frac{a^2}{2\rho} \frac{\partial}{\partial \rho}.$$

Тогда уравнение для интенсивности армирования  $\omega(\rho)$  в произвольной точке кольцевой пластины примет вид

$$\frac{\partial}{\partial \rho} \frac{\rho \omega}{\sqrt{a^4 + 4\rho^4}} + \frac{1}{\rho} \frac{\partial}{\partial \rho} \frac{\rho^2 \omega}{\sqrt{a^4 + 4\rho^4}} = 0. \quad (10)$$

Найдём решение уравнения (10):

$$\omega = C_1 \frac{\sqrt{a^2 + 2a\rho + 2\rho^2} \sqrt{a^2 - 2a\rho + 2\rho^2}}{\sqrt{\rho^3}}.$$

Сформулированные выше условия на внутреннем контуре дают соотношения для определения константы интегрирования, и окончательно для интенсивности армирования по спирали Ферма имеем

$$\omega = \frac{\omega_0 \sqrt{\rho_1^3}}{\sqrt{a^2 + 2a\rho_1 + 2\rho_1^2} \sqrt{a^2 - 2a\rho_1 + 2\rho_1^2}} \frac{\sqrt{a^2 + 2a\rho + 2\rho^2} \sqrt{a^2 - 2a\rho + 2\rho^2}}{\sqrt{\rho^3}},$$

где  $a^2 = 2\rho_1 / \operatorname{tg} \varphi_0$ .

Вид траектории армирования по спирали Ферма приведен на рис. 4.

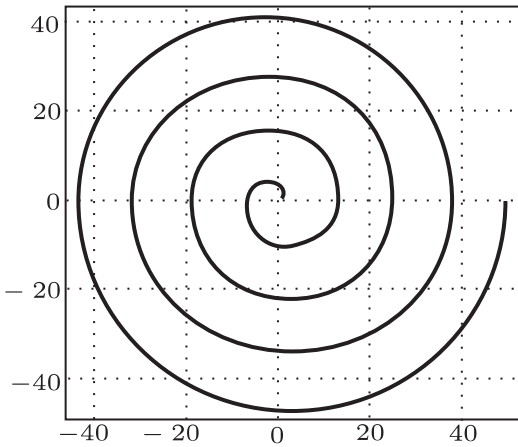


Рис. 3

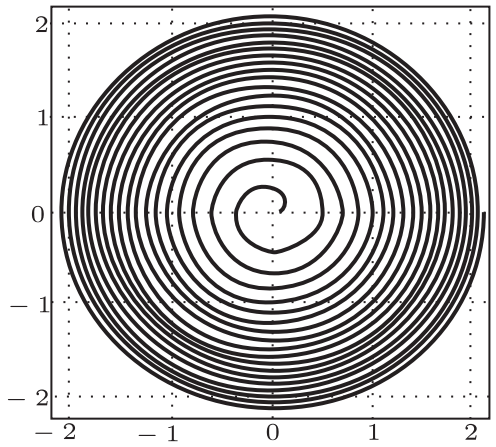


Рис. 4

4. «Велоколесо». Спицы велоколеса в полярной системе координат представляют семейство прямых, заданных уравнением  $\rho = a / \sin \theta$ , где  $a$  — константа, параметр велоколеса,  $-\pi < \theta < 0$ ,  $\theta \neq \pi/2$ . Вычислим  $\rho'_\theta$ , найдём  $\theta$  через  $\rho$  из уравнения траектории:  $\theta = \arcsin a/\rho$ , получим выражение тангенса угла армирования  $\operatorname{tg} \varphi = -\operatorname{tg} \theta$  через полярный радиус

$$\operatorname{tg} \varphi = \mp \frac{a}{\sqrt{\rho^2 - a^2}}.$$

Оператор дифференцирования по окружной координате вдоль траектории армирования равен

$$\frac{\partial}{\partial \theta} = -\frac{a \cos \theta}{\sin^2 \theta} \frac{\partial}{\partial \rho}.$$

В результате условие постоянства сечений волокон примет вид

$$\frac{\partial}{\partial \rho} \left( \omega_1 \sqrt{\rho^2 - a^2} \right) + \rho \sqrt{\rho^2 - a^2} \frac{\partial}{\partial \rho} \left( \frac{\omega_1}{\rho} \right) = 0.$$

Пусть  $\rho_1$  — внутренний радиус кольцевой пластины,  $\theta_0$  — заданный угол выхода, тогда  $a = \rho_1 \sin \theta_0$ . С учетом условий на внутреннем контуре  $\omega_1|_{\rho=\rho_1} = \omega_0$  получим интенсивность армирования

$$\omega_1 = \frac{\omega_0 \sqrt{\rho} (\rho_1^2 - (\rho_1 \sin \theta_0)^2)^{1/4}}{\sqrt{\rho_1} (\rho^2 - (\rho_1 \sin \theta_0)^2)^{1/4}}.$$

Армирование вдоль спиц велоколеса для кольцевой пластины находит применение в современной промышленности. В настоящей работе рассматривается армирование по траекториям, представляющим комбинации спиц велоколеса и семейств рассмотренных выше спиралей.

**5. Изогональное армирование.** Наряду с криволинейными структурами армирования по спиральям, рассматриваемыми в кольцевых пластинах, строим изогональные траектории армирования (т.е. линии, пересекающие кривые данного однопараметрического семейства под одним и тем же заданным углом  $\alpha = \arctg k$ ) [5]. Процедура нахождения изогональных траекторий к данным координатным линиям криволинейной ортогональной системы координат описана в монографии [6].

Для семейства логарифмических спиралей семейство изогональных к ним траекторий описывается уравнением вида

$$\rho = C_1 \exp\left(\frac{1-k}{1+k}\theta\right),$$

где  $C_1$  — произвольная константа,  $k = \tg \alpha$ . Иллюстрации армирования концентрического кольца по логарифмическим спиральям и изогональным им траекториям для значений  $k = 3$ ,  $k = 0,7$  приведены на рис. 5, 6, где параметр семейств траекторий принимает три значения, изогональные траектории изображены пунктирными линиями.

Для семейств спиралей Архимеда уравнение изогональных траекторий имеет вид

$$\rho = C_2 e^{-k\theta} (1 + k\theta)^{2/k},$$

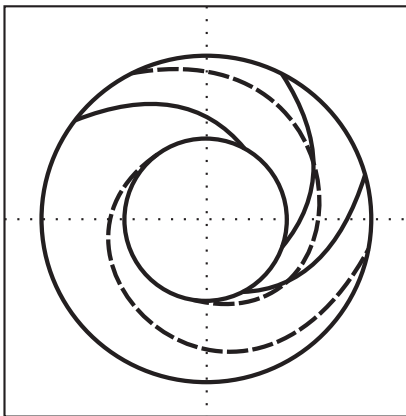


Рис. 5

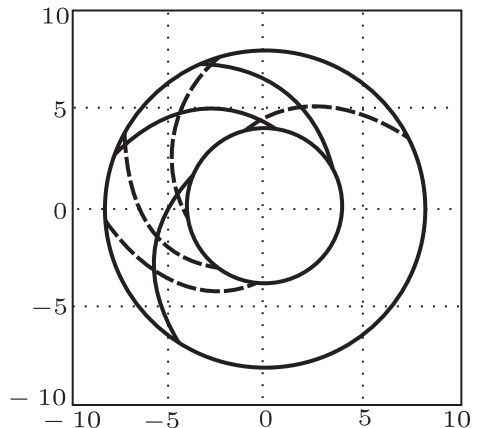


Рис. 6

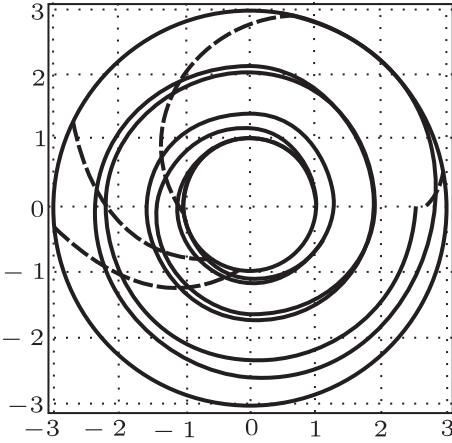


Рис. 7

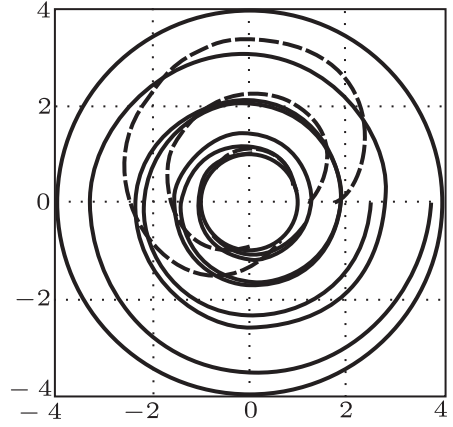


Рис. 8

где  $C_2$  — произвольная константа. Армирование по спиральям Архимеда и изогональным им траекториям в кольцевой пластине для значений  $k = 0,7$ ,  $k = 1,4$  приведены на рис. 7, 8.

Коэффициенты системы (6) учитывают способы армирования семейства волокон в направлении любых изогональных траекторий, что дает широкое разнообразие структур армирования и позволяет в рамках единой схемы решения (6) получать композиционную конструкцию с заранее заданными свойствами.

**4. Условия прочности армированного материала.** Проверка условий разрушения упруго армированного материала имеет свои особенности [7]. Сформулируем кратко условия прочности армированного материала. Пусть материал изотропного связующего имеет различные пределы прочности при растяжении  $\sigma_c^+$  и сжатии  $\sigma_c^-$ . Тогда в случае плоского напряжённого состояния условие прочности Баландина для неоднородного материала через напряжения  $\sigma_\rho^c$ ,  $\sigma_\theta^c$ ,  $\sigma_{\rho\theta}^c$  в связующем для полярной системы координат имеют вид

$$(\sigma_\rho^c)^2 + (\sigma_\theta^c)^2 - \sigma_\rho^c \sigma_\theta^c + 3(\sigma_{\rho\theta}^c)^2 + (\sigma_c^- - \sigma_c^+)(\sigma_\rho^c + \sigma_\theta^c) < \sigma_c^+ \sigma_c^-. \quad (11)$$

Левую часть соотношения (11) назовём функцией Баландина.

Для семейств армирующих волокон предполагаем, что пределы прочности (текучести)  $m$ -го семейства волокон при растяжении  $\sigma_m^+$  и сжатии  $\sigma_m^-$  различны. Армирующие семейства волокон остаются упругими, если выполняются неравенства [8]

$$-\sigma_m^- < E_m(\varepsilon_\rho l_{1m}^2 + 2\varepsilon_{\rho\theta} l_{1m} l_{2m} + \varepsilon_\theta l_{2m}^2) < \sigma_m^+. \quad (12)$$

В (12) использованы обозначения  $l_{m1} = \cos(\varphi_m)$ ,  $l_{m2} = \sin(\varphi_m)$ , где  $m$  — число семейств армирующих волокон,  $E_m$  — модуль Юнга  $m$ -го семейства волокон. Таким образом, для проверки прочности армированного материала необходимо анализировать два условия: условие на прочность материала связующего (11) и условие на прочность армирующих волокон (12).

На основании вышеизложенного следует ввести понятие предельного упругого состояния в некоторой точке рассматриваемой конструкции, по достижении которого хотя бы в одной точке либо в связующем, либо в волокне происходит выход за пределы упругости (напряжение превышает предел текучести). В данной точке может возникнуть микроразрушение.

**5. Численное решение задачи.** Численную схему строим относительно обезразмеренных переменных: линейный размер пластины относим к внешнему радиусу, в соотношениях для напряжений все величины относим к максимальному модулю Юнга армирующих семейств волокон. Система (6) и сформулированные граничные условия представляют собой обобщенную двухточечную краевую задачу для системы обыкновенных дифференциальных уравнений. Коэффициенты в (6) содержат полный набор структурных характеристик: число семейств армирующих волокон, механические характеристики материалов связующего и волокон, интенсивность и тригонометрические функции углов армирования.

Для численного решения обезразмеренная система (6) сводилась к системе четырех дифференциальных уравнений первого порядка, затем строилась разностная схема, аппроксимирующая систему дифференциальных уравнений и краевые условия со вторым порядком точности. Полученная при этом система линейных уравнений с трехдиагональной матрицей коэффициентов решается методом ортогональной прогонки [9].

Постановка задачи свелась к реализации единой схемы, которая учитывает её разнообразные механические формулировки и различные способы армирования.

В численном эксперименте рассмотрена кольцевая пластина с тремя типами структур армирования: траекториями армирования являются семейства спиралей Архимеда и логарифмических спиралей (I) (рис. 9), семейство спиралей Архимеда и «спицы велоколеса» (II), семейство логарифмических спиралей и «спицы велоколеса» (III) (рис. 10). В качестве материала связующего выбран алюминий, армирование производится стальными волокнами. Механические характеристики металлокомпозита [10] и за-

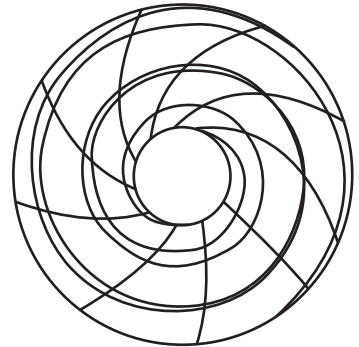


Рис. 9

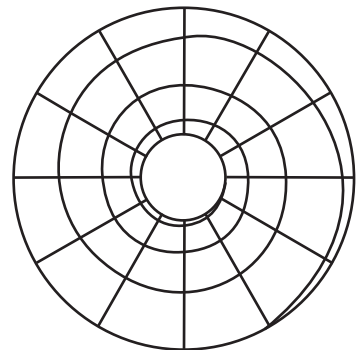


Рис. 10

Таблица 1

Механические и геометрические характеристики композита							
$\Delta m p$	$\nu$	$E$ , ГПа	$E_1$ , ГПа	$E_2$ , ГПа	$\omega_{01}$	$\omega_{02}$	$\text{tg } \varphi_0$
-2,0	0,3	70,0	200,0	200,0	0,3	0,3	0,7
-1,5	0,3	70,0	200,0	200,0	0,05	0,04	0,7
0,5	0,3	70,0	200,0	200,0	0,32	0,1	0,7
2,0	0,3	70,0	200,0	200,0	0,51	0,18	0,7

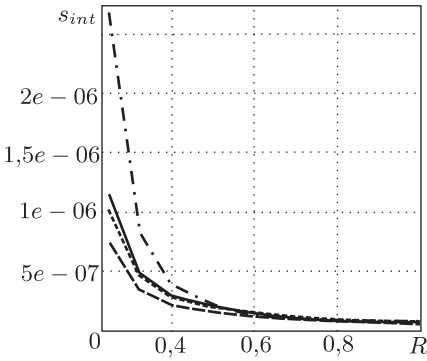


Рис. 11. Структура I

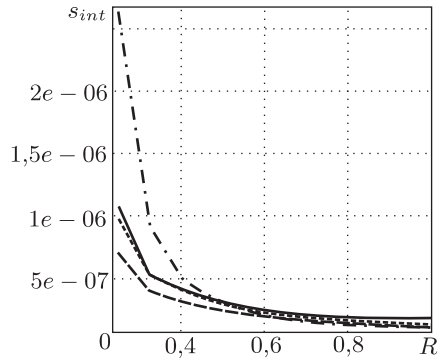


Рис. 12. Структура II

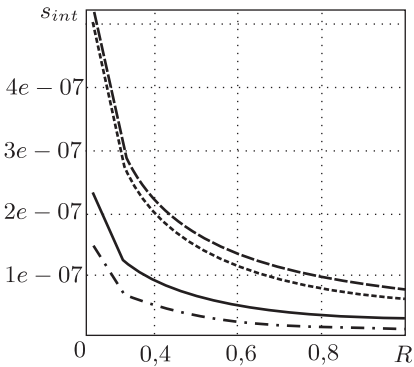


Рис. 13. Структура III

даваемые геометрические параметры конструкции представлены в табл. 1. Значения средней прочности для материала связующего  $\sigma_c^+$  составляет 0,29 ГПа, для стальных волокон пределы прочности при растяжении  $\sigma_1^+ = 0,8$  ГПа, при сжатии  $\sigma_1^- = 0,4$  ГПа. На внутреннем контуре ставятся условия жесткой заделки. На внешнем контуре задаются нормальное и тангенциальное усилия  $p_n, p_\tau$ . В граничных условиях примем  $p_n/p_\tau = Amr$ , число  $Amr$  назовём амплитудой внешней нагрузки, полагаем величину усилия  $p_n = 1$  МПа. Изучаем, как влияет изменение амплитуды на достижение предельной нагрузки согласно критериям (11), (12) для трёх рассматриваемых структур армирования.

На рис. 11–13 для четырёх типов начальных интенсивностей армирования  $\omega_{01}, \omega_{02}$  при фиксированной внешней нагрузке показаны значения функции Баландина в безразмерных переменных. Как видим, структура III допускает значительное увеличение внешней нагрузки для всех начальных значений интенсивностей армирования, в отличие от двух других структур, в которых происходит приближение к предельному состоянию. Можем сделать вывод, что при фиксированном материале и уровне нагружения при заданных граничных условиях наиболее предпочтительной является структура армирования III.

Для анализа рассматриваемых структур армирования (I–III) введём характеристику, которую назовём степенью нагружения волокна  $P$ , определив её как отношение напряжений в волокне к пределу прочности соответствующего материала, выраженную в процентах. Задавшись значениями амплитуды внешней нагрузки и начальными условиями выхода арматуры, получим следующие зависимости  $P$  для названных структур армирования (табл. 2).

Численные эксперименты показали, что за счёт управления геометрическими параметрами пластины и криволинейной укладкой семейств армирующих волокон можно получить конструкцию с заранее заданными свойствами.

Таблица 2

Степень нагружения волокна  $P$ , выраженная в процентах

структура	$\omega_{01} = 0,3,$ $\omega_{02} = 0,3$	$\omega_{01} = 0,05,$ $\omega_{02} = 0,0376$	$\omega_{01} = 0,1,$ $\omega_{02} = 0,318$
I	6	40	6
II	9	70	10
III	14	80	22

Предложенная методика позволяет прогнозировать поведение композита при различных вариантах механических свойств связующего и волокна, начальных стадий технологического процесса, выбора различных криволинейных траекторий армирования и их количества, размера внутреннего отверстия кольцевой пластины.

## БИБЛИОГРАФИЧЕСКИЙ СПИСОК

1. Yu. V. Nemirovsky, "On the elastic-plastic behaviour of a reinforced layer" // *Int. J. Mech. Sci.*, 1970. Vol. 12, no. 10. Pp. 898–903.
2. С. Б. Бушманов, Ю. В. Немировский, "Проектирование пластин, армированных равнонапряженными волокнами постоянного поперечного сечения" // *Мех. композ. матер.*, 1983. № 2. С. 278–284; англ. пер.: S. B. Bushmanov, Yu. V. Nemirovskii, "Design of plates reinforced with equally stressed fibers of constant cross section" // *Mech. Compos. Mater.*, 1983. Vol. 19, no. 2. Pp. 207–213.
3. Ю. В. Немировский, Н. А. Фёдорова, "Армирование плоских конструкций по криволинейным ортогональным траекториям" // *Вестн. Сам. гос. техн. ун-та. Сер. Физ.-мат. науки*, 2010. № 5(21). С. 96–104. [Yu. V. Nemirovsky, N. A. Feodorova, "Reinforcement of Planar Structures along Orthogonal Curvilinear Trajectories" // *Vestn. Samar. Gos. Tekhn. Univ. Ser. Fiz.-Mat. Nauki*, 2010. no. 5(21). Pp. 96–104].
4. А. А. Гусак, Г. М. Гусак, *Линии и поверхности*. Минск: Выш. школа, 1985. 220 с. [A. A. Gusak, G. M. Gusak, *Lines and surfaces*. Minsk: Vysh. shkola, 1985. 220 pp.]
5. Н. А. Фёдорова, "Моделирование изогонально армированных кольцевых пластин в полярной системе координат" // *Журн. СВУ. Сер. Матем. и физ.*, 2011. Т. 4, № 3. С. 400–405. [N. A. Feodorova, "Modeling for reinforced with isogonal trajectories ring-shaped lamels in polar coordinate system" // *J. Sib. Fed. Univ. Math. Phys.*, 2011. Vol. 4, no. 3. Pp. 400–405].
6. Ю. В. Немировский, Н. А. Фёдорова, *Математическое моделирование плоских конструкций из армированных волокнистых материалов*. Красноярск: СВУ, 2010. 136 с. [Yu. V. Nemirovskiy, N. A. Feodorova, *Mathematical modeling of flat structures made of reinforced fiber materials*. Krasnoyarsk: Sib. Fed. Univ., 2010. 136 pp.]
7. Ю. В. Немировский, Б. С. Резников, *Прочность элементов конструкций из композитных материалов*. Новосибирск: Наука, 1986. 165 с. [Yu. V. Nemirovskii, B. S. Reznikov, *Strength of Structural Elements Made of Composite Materials*. Novosibirsk: Nauka, 1986. 165 pp.]
8. Ю. В. Немировский, "Об упруго-пластическом поведении армированного слоя" // *ПМТФ*, 1969. Т. 10, № 6. С. 81–89. [Yu. V. Nemirovskii, "Elastoplastic behavior of a reinforced layer" // *J. Appl. Mech. Tech. Phys.*, 1969. Vol. 10, no. 6. Pp. 914–921].
9. J. M. Ortega, V. G. Pool, *An introduction to Numerical Methods of Solving Differential Equations*. New York: Pitman Publishing Inc., 1981; русск. пер.: Дж. Ортега, У. Пул, *Введение в численные методы решения дифференциальных уравнений*. М.: Наука, 1986. 288 с.
10. В. В. Васильев, В. Д. Протасов, В. В. Болотин и др., *Композиционные материалы: Справочник*. Москва: Машиностроение, 1990. 510 с. [V. V. Vasiliev, V. D. Protasov,

V. V. Bolotin, et al., Composite Materials: A Handbook. Moscow: Mashinostroenie, 1990. 510 pp.]

Поступила в редакцию 14/XI/2012;  
в окончательном варианте — 04/II/2013.

**MSC: 74K99, 74E30**

## **STUDY OF CURVILINEAR REINFORCEMENT RATIONAL STRUCTURES IN POLAR COORDINATE SYSTEM**

*Yu. V. Nemirovsky*<sup>1</sup>, *N. A. Feodorova*<sup>2</sup>

<sup>1</sup> Khristianovich Institute of Theoretical and Applied Mechanics,  
Siberian Branch of the Russian Academy of Sciences,  
4/1, Institutskaya st., Novosibirsk, 630090, Russia.

<sup>2</sup> Institute of Space and Information Technologies,  
Siberian Federal University,  
26, Kirensky st., Krasnoyarsk, 660074, Russia.

E-mails: nemirov@itam.nsc.ru, feodorova.natalia@mail.ru

*The problem of curvilinear fibers rational reinforcement for axially symmetric ring-shaped lamel in polar coordinate system is solved by reference to the structural model. The effect of structural parameters for a construction limit stressing is studied.*

**Key words:** *structural model, curvilinear reinforcement.*

Original article submitted 14/XI/2012;  
revision submitted 04/II/2013.

---

*Yuriy V. Nemirovsky* (Dr.Sci. (Phys. & Math.)), Chief Scientist, Lab. of Fast Processes Physics. *Nataliya A. Feodorova* (Ph.D. (Phys. & Math.)), Associate Professor, Dept. of Applied Mathematics & Computer Security.